

# 莆田市 2023 届高中毕业班第四次教学质量检测试卷 地 理

本试卷满分 100 分, 考试用时 75 分钟。

### 注意事项:

1. 答题前, 考生务必将自己的姓名、考生号、考场号、座位号填写在答题卡上。
2. 回答选择题时, 选出每小题答案后, 用铅笔把答题卡上对应题目的答案标号涂黑。如需改动, 用橡皮擦干净后, 再选涂其他答案标号。回答非选择题时, 将答案写在答题卡上。写在本试卷上无效。
3. 考试结束后, 将本试卷和答题卡一并交回。
4. 本试卷主要考试内容: 高考全部内容。

一、选择题: 本题共 16 小题, 每小题 3 分, 共 48 分。在每小题给出的四个选项中, 只有一项是符合题目要求的。

城市社会空间结构与城镇化阶段相对应。改革开放后的中国城市社会在短短几十年间发生了巨大变化, 社会空间已成为当代中国城市转型提升的核心维度。研究表明, 中美之间的收入群体空间分布存在较大差异, 优势群体的择居偏好受到与市中心距离、自然环境(水体和地形)以及交通成本三大关键外生变量的影响, 随着外部条件的变化, 他们的选择也会随之改变。城镇化初期, 中国城市中心环境老化狭小、交通拥挤, 开始出现少数人口外流现象, 次核心区也随城市规模与交通扩张而相应外迁, 而美国城市中心区出现大量人口外流现象, 外围少量人口内迁至核心区。图 1 示意中美城市社会空间结构及演变模式。据此完成 1~3 题。

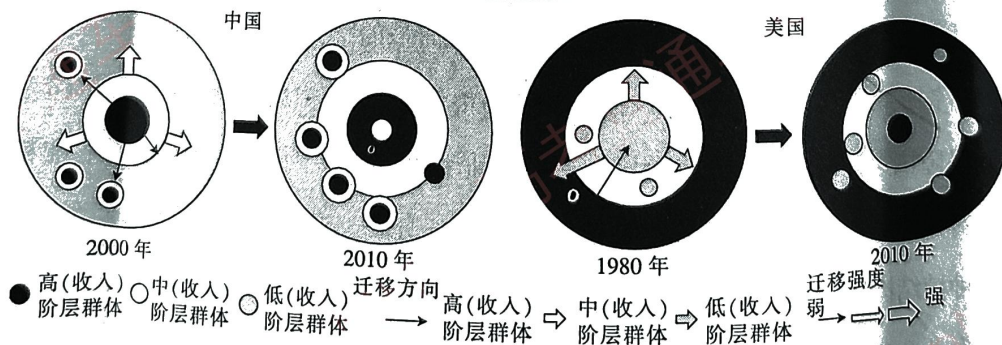


图 1

1. 中国与美国城市社会收入群体空间分布模式分别是

- A. 外高内低, 内高外低
- B. 外高内低, 外高内低
- C. 内高外低, 外高内低
- D. 内高外低, 内高外低

试卷

卡上。  
案标号涂  
答案写在

只有一项是符

近十年间发  
美之间的收  
量(水体和地  
会随之改变。  
次核心区也  
围少量人口

2. 城镇化初期,中国城市高阶层群体迁移主要考虑的是 **B**
- A. 距城市中心较近
  - B. 自然环境好
  - C. 教育资源充足
  - D. 土地价格较低
3. 影响中美城市社会空间结构产生差异的主要因素是 **C**
- A. 交通条件 ~~X~~
  - B. 政策支持 ~~X~~
  - C. 资源禀赋
  - D. 科学技术

水网在一定程度上决定了国家或区域的经济社会发展格局。近期相关学者提出“双T”形水网经济布局构想,有利于我国形成互联、互通、互济的水网经济格局。构建从西南调水至西北的西部调水工程是“双T”形水网经济带建设的重要基础,可促进西部经济带协调发展。图2示意“T”形、“II”形、“双T”形水网。据此完成4~6题。

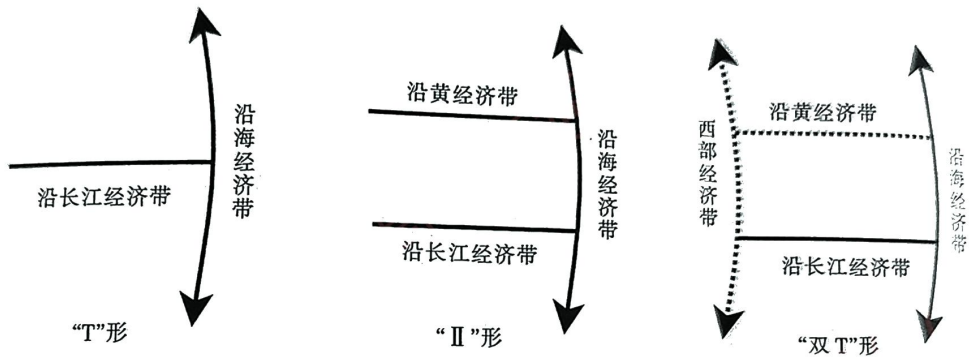


图2

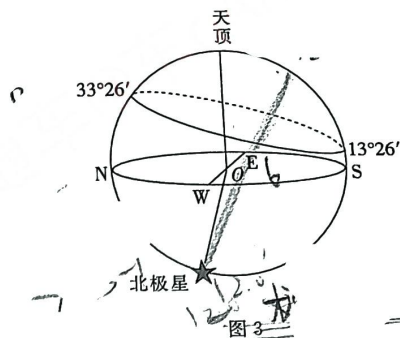
4. 与“T”形水网及“II”形水网相比,相关学者提出的我国“双T”形水网建设构想主要是基于
- A. 社会经济基础
  - B. 生态系统重塑
  - C. 现有水网系统
  - D. 民族文化振兴
5. 从西南调水至西北的西部调水工程可能使 **D**
- A. 西南地区水资源枯竭
  - B. 西北地区城市等级显著提升 ~~X~~
  - C. 沿线土壤盐渍化减轻 ~~X~~
  - D. 西部地区经济协调发展 ~~X~~
6. 西部调水工程实施进度较慢的主要原因是 **C**
- A. 气候较为恶劣 ~~X~~
  - B. 技术尚未成熟 ~~X~~
  - C. 工程难度较大
  - D. 投入成本较少 ~~X~~

图3示意某日某地太阳视运动轨迹,其中E表示东,W表示西,N表示北,S表示南,

$13^{\circ}26'$ 、 $33^{\circ}26'$ 为该地的太阳高度。据此完成7~8题。

7. 据材料可推出该地

- A. 太阳高度最小时地方时为0时
- B. 当天为9月23日
- C. 纬线圈与晨昏圈相切
- D. 纬度应为  $80^{\circ}N$



8. 该日之后,一个月内

- A. 北京日照时间逐渐缩短
- B. 我国南北地区温差最小
- C. 福州日出方位位于东南方
- D. 海南正午日影逐渐变长

全国发电装机容量22.6亿千瓦,其中,燃煤发电10.9亿千瓦。未来很长一段时间,燃煤发电仍将占据重要地位。燃煤发电会排放大量 $CO_2$ ,引起全球气候变暖。我国作为世界上碳排放量最大的国家,对全球碳达峰和碳中和具有至关重要的作用。据此完成9~10题。

9. 我国能源碳排放量居高不下,主要取决于

- ①能源结构 ②农业科技水平 ③经济规模 ④能源进口

- A. ①③
- B. ②④
- C. ①②
- D. ③④

10. 为尽快实现我国碳中和,亟须

- A. 迅速缩减工业规模
- B. 加快减排技术革新
- C. 大幅提高农业比重
- D. 引导居民消费降级

鄱阳湖水位较低时,周围遍布着因泥沙沉积不均而自然形成的碟形湖。百年来,当地渔民在碟形湖放水取鱼,之后让湖底裸露,接受两到三个月的日晒。图4示意鄱阳湖湖区三个水文站年平均水深变化过程。据此完成11~13题。

11. 2000年后,三个水文站之间的水深落差出现了明显的变化,主要是

- A. 采砂活动
- B. 三峡水库运行
- C. 气候变化
- D. 地壳下降

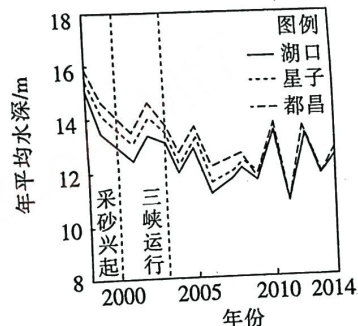


图4

T形  
西北  
2示

语数化生  
语数物  
月

12. 与碟形湖水位高低关联性较大的因素是

- ①湖盆地形 ②长江补给 ③灌溉用水 ④水面蒸发

- A. ①② B. ②③  
C. ③④ D. ①④

13. 每年,当地渔民让碟形湖湖底裸露,接受两至三个月日晒的生态意义!

- A. 改善湖区小气候 B. 减缓湖泊沼泽化  
C. 提供候鸟栖息地 D. 避免湖底盐渍化

气候倾向率反映气候要素的变化趋势,包括气温倾向率(反映气温的变化趋势,气温倾向率为正值,说明随时间的推移,气温呈下降趋势)和降水量倾向率(单位:mm/10年),常适用于表示深层地温的长期变化趋势。表1示意山东省济南市济阳区2005~2018年各月深层地温气候倾向率(单位:°C/10年)。据此完成14~16题。

表1

土壤深度/m	月份											
	1月	2月	3月	4月	5月	6月	7月	8月	9月	10月	11月	12月
0.8	0.624	0.846	2.404	2.363	2.299	2.409	2.288	1.723	1.451	0.684	0.262	0.352
1.6	1.031	1.095	1.655	1.802	1.695	1.745	1.681	1.336	1.185	1.086	0.895	0.945
3.2	0.877	0.879	0.932	1.196	1.301	1.352	1.455	1.429	0.916	0.844	0.743	0.701

14. 济阳土壤深层

- A. 全年热量传递方式完全相同  
B. 地温季节性变化相对较小  
C. 0.8 m 春季平均地温增幅最明显  
D. 黑土冻土发育期持续延长

15. 根据材料可以推测出济阳 2005~2018 年

- A. 气温呈上升趋势 B. 近地面风速变大  
C. 污染物增多 D. 降水量增加

16. 影响济阳土壤深度 0.8 m 处的冬季和夏季地温气候倾向率差异的主要因素有

- ①土壤性质 ②昼夜长短 ③植被覆盖 ④太阳高度

- A. ①② B. ①③  
C. ②④ D. ③④

【高三地理 第4页(共6页)】

二、非选择题  
17. 阅读图3  
中  
堆积。  
年来许  
堆积。  
切相关  
下游下

(1)简  
(2)推  
(3)说

18. 阅读1

人物

司合

中心

了一

相关

本东

条件

实支

二、非选择题:本题共3小题,共52分。

17. 阅读图文材料,完成下列要求。(18分)

中晚更新世以来,长江中下游地区粉尘堆积广泛发育,可称之为“下蜀土”的区域粉尘堆积。早年地理学家认为,长江中下游的下蜀黄土均来自北方,是远距离堆积的结果。但近年来许多证据表明,长江中下游地区位于东亚季风区,水系发达,其下蜀土属于近距离粉尘堆积。冰期长江中下游地区下蜀土的形成与其所处区域特殊的地形地貌条件和气候背景密切相关。图5-a为长江中下游下蜀土形成过程平面分布示意图,图5-b1、图5-b2为长江中下游下蜀土形成过程剖面分布示意图。

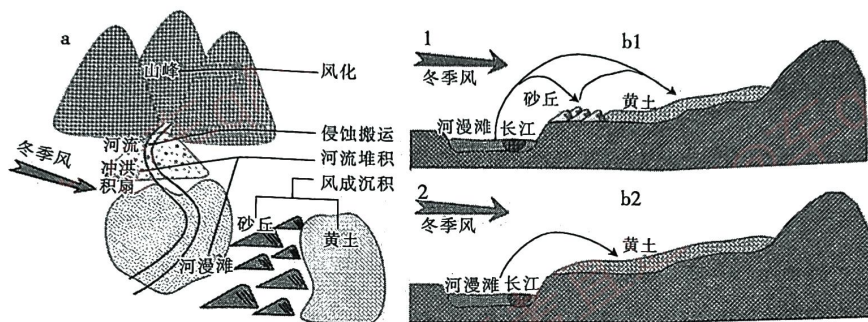


图5

- (1) 简述长江中下游河漫滩的形成过程。(6分)
- (2) 推测长江中下游下蜀土的粉尘并非来自北方的原因。(4分)
- (3) 说明长江中下游地区在冰期更容易形成下蜀土的合理依据。(8分)

18. 阅读图文材料,完成下列要求。(16分)

动漫产业是日本重要的文化产业,其制作过程中原稿制作、人物设计、发行、宣传、后期周边制作等环节,需要不同类型的公司合作完成,与当地的工业、交通等的发展水平密切相关。东京中心区位优势明显,作为日本的政治、经济、科创中心,东京集聚了一大批优秀的国内、国际动漫企业。同时东京都地方政府出台相关政策法规,推进各类动漫节、展览会的举办,建设杉并(为日本东京都的特别区)动漫博物馆,为从业者提供创作、交流、研究条件,为各年龄层人士系统了解、体验日本动漫产业提供场所,切实支持动漫产业的发展。



图6

图6示意2016年东京都市圈动漫企业分布数量(单位:个)。

- (1)推测与千叶县相比,神奈川县发展动漫产业的有利条件。(4分)  
 (2)分析东京都市圈中心区位优势对动漫产业人才集聚的影响。(6分)  
 (3)分析开设杉并动漫博物馆对动漫产业发展的积极作用。(6分)

19. 阅读材料,完成下列要求。(18分)

贵州省铜仁市万山区位于  $109^{\circ}11' E \sim 109^{\circ}14' E, 27^{\circ}30' N \sim 27^{\circ}32' N$ , 区内地势西部高,东部低,中部隆起,岩溶槽谷地貌(“U”形地貌)发育成熟。2014年以来,当地引导和鼓励群众种植经济型林木,使万山区森林覆盖率达 68.2%,同时使耕地资源减少,“非粮化”面积约占耕地总面积的 34.82%。表 2 示意 2019 年铜仁市万山区“非粮化”耕地地类面积,“非粮化”耕地包括未耕种、种植非粮食作物的耕地及耕地通过工程手段转化成的林地、园地、其他农用地。

表 2

类型	耕地/hm <sup>2</sup>			可调整地类/hm <sup>2</sup>			总计/hm <sup>2</sup>
	水田	旱地	水浇地	林地	园地	其他农用地	
未耕种	842.55	1924.09	2.00	—	—	—	2768.64
种植非粮食作物	89.38	316.83	79.08	—	—	—	485.29
工程恢复	—	—	—	1435.26	435.66	69.89	1940.81
即可恢复	—	—	—	388.67	440.54	50.57	879.78
总计/hm <sup>2</sup>	931.93	2240.92	81.08	1823.93	876.20	120.46	6074.52

- (1)描述 2019 年铜仁市万山区“非粮化”耕地地类面积的结构特点。(6分)  
 (2)分析铜仁市万山区“U”形地貌对未耕种“非粮化”耕地规模影响较大的原因。(6分)  
 (3)为保障国家耕地资源安全,试从下列两种“非粮化”类型中任选一种,说明该“非粮化”类型对万山区耕地“非粮化”管控整治的影响。(6分)
- ①种植结构“非粮化”:描述一定区域内耕地非粮食作物播种面积占农作物播种面积的比重  
 ②农业生产结构“非粮化”:描述一定区域内耕地转变为其他农用地,如园地、林地等

天

瞭  
望  
线  
不  
要  
答  
题

## 关于我们

自主选拔在线是致力于提供新高考生涯规划、强基计划、综合评价、三位一体、学科竞赛等政策资讯的升学服务平台。总部坐落于北京，旗下拥有网站（[网址: www.zizzs.com](http://www.zizzs.com)）和微信公众平台等媒体矩阵，用户群体涵盖全国90%以上的重点中学师生及家长，在全国新高考、自主选拔领域首屈一指。

如需第一时间获取相关资讯及备考指南，请关注**自主选拔在线**官方微信号：**zizzsw**。



 微信搜一搜

 自主选拔在线

